

# Starkniederschlagshöhen und -spenden gemäß KOSTRA-DWD-2020

## Rasterfeld 200188

(Zeile 200, Spalte 188)

### Regenspende und Bemessungsniederschlagswerte in Abhängigkeit von Wiederkehrzeit T und Dauerstufe D

| Dauerstufe D |     | Wiederkehrzeit T |            |      |            |       |            |       |            |       |            |       |            |       |            |       |            |       |            |
|--------------|-----|------------------|------------|------|------------|-------|------------|-------|------------|-------|------------|-------|------------|-------|------------|-------|------------|-------|------------|
|              |     | 1 a              |            | 2 a  |            | 3 a   |            | 5 a   |            | 10 a  |            | 20 a  |            | 30 a  |            | 50 a  |            | 100 a |            |
| min          | Std | mm               | l / (s ha) | mm   | l / (s ha) | mm    | l / (s ha) | mm    | l / (s ha) | mm    | l / (s ha) | mm    | l / (s ha) | mm    | l / (s ha) | mm    | l / (s ha) | mm    | l / (s ha) |
| 5            |     | 7,6              | 253,3      | 9,5  | 316,7      | 10,7  | 356,7      | 12,2  | 406,7      | 14,5  | 483,3      | 16,8  | 560,0      | 18,4  | 613,3      | 20,4  | 680,0      | 23,2  | 773,3      |
| 10           |     | 10,1             | 168,3      | 12,7 | 211,7      | 14,3  | 238,3      | 16,4  | 273,3      | 19,4  | 323,3      | 22,5  | 375,0      | 24,5  | 408,3      | 27,2  | 453,3      | 31,0  | 516,7      |
| 15           |     | 11,7             | 130,0      | 14,7 | 163,3      | 16,5  | 183,3      | 18,9  | 210,0      | 22,4  | 248,9      | 26,0  | 288,9      | 28,4  | 315,6      | 31,5  | 350,0      | 35,9  | 398,9      |
| 20           |     | 12,9             | 107,5      | 16,2 | 135,0      | 18,2  | 151,7      | 20,9  | 174,2      | 24,7  | 205,8      | 28,7  | 239,2      | 31,3  | 260,8      | 34,7  | 289,2      | 39,5  | 329,2      |
| 30           |     | 14,6             | 81,1       | 18,4 | 102,2      | 20,7  | 115,0      | 23,7  | 131,7      | 28,1  | 156,1      | 32,6  | 181,1      | 35,5  | 197,2      | 39,4  | 218,9      | 44,9  | 249,4      |
| 45           |     | 16,5             | 61,1       | 20,7 | 76,7       | 23,3  | 86,3       | 26,8  | 99,3       | 31,7  | 117,4      | 36,8  | 136,3      | 40,1  | 148,5      | 44,5  | 164,8      | 50,7  | 187,8      |
| 60           | 1   | 18,0             | 50,0       | 22,5 | 62,5       | 25,4  | 70,6       | 29,1  | 80,8       | 34,5  | 95,8       | 40,0  | 111,1      | 43,6  | 121,1      | 48,4  | 134,4      | 55,2  | 153,3      |
| 90           | 1,5 | 20,1             | 37,2       | 25,3 | 46,9       | 28,5  | 52,8       | 32,6  | 60,4       | 38,6  | 71,5       | 44,8  | 83,0       | 48,9  | 90,6       | 54,2  | 100,4      | 61,9  | 114,6      |
| 120          | 2   | 21,8             | 30,3       | 27,4 | 38,1       | 30,8  | 42,8       | 35,3  | 49,0       | 41,9  | 58,2       | 48,6  | 67,5       | 53,0  | 73,6       | 58,7  | 81,5       | 67,0  | 93,1       |
| 180          | 3   | 24,4             | 22,6       | 30,6 | 28,3       | 34,4  | 31,9       | 39,5  | 36,6       | 46,8  | 43,3       | 54,3  | 50,3       | 59,2  | 54,8       | 65,6  | 60,7       | 74,8  | 69,3       |
| 240          | 4   | 26,4             | 18,3       | 33,1 | 23,0       | 37,2  | 25,8       | 42,7  | 29,7       | 50,5  | 35,1       | 58,7  | 40,8       | 64,0  | 44,4       | 70,9  | 49,2       | 80,9  | 56,2       |
| 360          | 6   | 29,4             | 13,6       | 36,9 | 17,1       | 41,5  | 19,2       | 47,6  | 22,0       | 56,4  | 26,1       | 65,4  | 30,3       | 71,3  | 33,0       | 79,1  | 36,6       | 90,2  | 41,8       |
| 540          | 9   | 32,8             | 10,1       | 41,1 | 12,7       | 46,3  | 14,3       | 53,1  | 16,4       | 62,8  | 19,4       | 72,9  | 22,5       | 79,5  | 24,5       | 88,2  | 27,2       | 100,6 | 31,0       |
| 720          | 12  | 35,4             | 8,2        | 44,4 | 10,3       | 50,0  | 11,6       | 57,3  | 13,3       | 67,8  | 15,7       | 78,7  | 18,2       | 85,9  | 19,9       | 95,2  | 22,0       | 108,6 | 25,1       |
| 1080         | 18  | 39,4             | 6,1        | 49,4 | 7,6        | 55,6  | 8,6        | 63,8  | 9,8        | 75,6  | 11,7       | 87,7  | 13,5       | 95,6  | 14,8       | 106,0 | 16,4       | 120,9 | 18,7       |
| 1440         | 24  | 42,5             | 4,9        | 53,3 | 6,2        | 60,1  | 7,0        | 68,9  | 8,0        | 81,6  | 9,4        | 94,6  | 10,9       | 103,2 | 11,9       | 114,4 | 13,2       | 130,5 | 15,1       |
| 2880         | 48  | 51,1             | 3,0        | 64,1 | 3,7        | 72,2  | 4,2        | 82,8  | 4,8        | 98,0  | 5,7        | 113,7 | 6,6        | 124,0 | 7,2        | 137,5 | 8,0        | 156,9 | 9,1        |
| 4320         | 72  | 56,9             | 2,2        | 71,4 | 2,8        | 80,3  | 3,1        | 92,1  | 3,6        | 109,1 | 4,2        | 126,6 | 4,9        | 138,1 | 5,3        | 153,1 | 5,9        | 174,6 | 6,7        |
| 5760         | 96  | 61,4             | 1,8        | 77,0 | 2,2        | 86,7  | 2,5        | 99,4  | 2,9        | 117,7 | 3,4        | 136,6 | 4,0        | 149,0 | 4,3        | 165,2 | 4,8        | 188,4 | 5,5        |
| 7200         | 120 | 65,1             | 1,5        | 81,7 | 1,9        | 92,0  | 2,1        | 105,5 | 2,4        | 124,9 | 2,9        | 144,9 | 3,4        | 158,1 | 3,7        | 175,3 | 4,1        | 199,9 | 4,6        |
| 8640         | 144 | 68,3             | 1,3        | 85,7 | 1,7        | 96,5  | 1,9        | 110,7 | 2,1        | 131,1 | 2,5        | 152,1 | 2,9        | 165,9 | 3,2        | 183,9 | 3,5        | 209,8 | 4,0        |
| 10080        | 168 | 71,2             | 1,2        | 89,3 | 1,5        | 100,5 | 1,7        | 115,3 | 1,9        | 136,5 | 2,3        | 158,4 | 2,6        | 172,8 | 2,9        | 191,6 | 3,2        | 218,5 | 3,6        |

# Starkniederschlagshöhen und -spenden gemäß KOSTRA-DWD-2020

## Rasterfeld 200188

(Zeile 200, Spalte 188)

### Örtliche Unsicherheiten in Abhängigkeit von Wiederkehrzeit T und Dauerstufe D

| Dauerstufe D |     | Wiederkehrzeit T |     |     |     |      |      |      |      |       |
|--------------|-----|------------------|-----|-----|-----|------|------|------|------|-------|
|              |     | 1 a              | 2 a | 3 a | 5 a | 10 a | 20 a | 30 a | 50 a | 100 a |
| min          | Std | ± %              | ± % | ± % | ± % | ± %  | ± %  | ± %  | ± %  | ± %   |
| 5            |     | 16               | 17  | 18  | 18  | 19   | 20   | 20   | 21   | 21    |
| 10           |     | 20               | 21  | 22  | 23  | 24   | 24   | 25   | 25   | 26    |
| 15           |     | 21               | 23  | 24  | 24  | 25   | 26   | 27   | 27   | 28    |
| 20           |     | 22               | 24  | 25  | 25  | 26   | 27   | 27   | 28   | 28    |
| 30           |     | 23               | 24  | 25  | 26  | 27   | 28   | 28   | 28   | 29    |
| 45           |     | 23               | 24  | 25  | 26  | 27   | 27   | 28   | 28   | 29    |
| 60           | 1   | 22               | 24  | 25  | 25  | 26   | 27   | 27   | 28   | 28    |
| 90           | 1,5 | 21               | 23  | 23  | 24  | 25   | 26   | 27   | 27   | 27    |
| 120          | 2   | 20               | 22  | 23  | 24  | 24   | 25   | 26   | 26   | 27    |
| 180          | 3   | 19               | 21  | 21  | 22  | 23   | 24   | 24   | 25   | 25    |
| 240          | 4   | 18               | 20  | 20  | 21  | 22   | 23   | 23   | 24   | 24    |
| 360          | 6   | 17               | 18  | 19  | 20  | 21   | 21   | 22   | 22   | 23    |
| 540          | 9   | 16               | 17  | 18  | 19  | 19   | 20   | 21   | 21   | 21    |
| 720          | 12  | 16               | 17  | 17  | 18  | 19   | 19   | 20   | 20   | 21    |
| 1080         | 18  | 15               | 16  | 16  | 17  | 18   | 18   | 19   | 19   | 19    |
| 1440         | 24  | 15               | 16  | 16  | 16  | 17   | 18   | 18   | 18   | 19    |
| 2880         | 48  | 16               | 16  | 16  | 16  | 17   | 17   | 17   | 17   | 18    |
| 4320         | 72  | 17               | 16  | 16  | 16  | 17   | 17   | 17   | 17   | 18    |
| 5760         | 96  | 18               | 17  | 17  | 17  | 17   | 17   | 18   | 18   | 18    |
| 7200         | 120 | 18               | 18  | 18  | 18  | 18   | 18   | 18   | 18   | 18    |
| 8640         | 144 | 19               | 18  | 18  | 18  | 18   | 18   | 18   | 18   | 19    |
| 10080        | 168 | 20               | 19  | 19  | 19  | 19   | 19   | 19   | 19   | 19    |

### Parameter für abweichende T und D

#### Lokationsparameter $\xi$ (Xi)

18,38437541

#### Skalenparameter $\alpha$ (Alpha)

6,50837987

#### Formparameter $\kappa$ (Kappa)

-0,1

#### 1. Koutsoyiannis-Parameter $\theta$ (Theta)

0,03070135

#### 2. Koutsoyiannis-Parameter $\eta$ (Eta)

0,73565099

Parameter für dauerstufenübergreifende Extremwertschätzung nach KOUTSOYIANNIS et al. 1998.

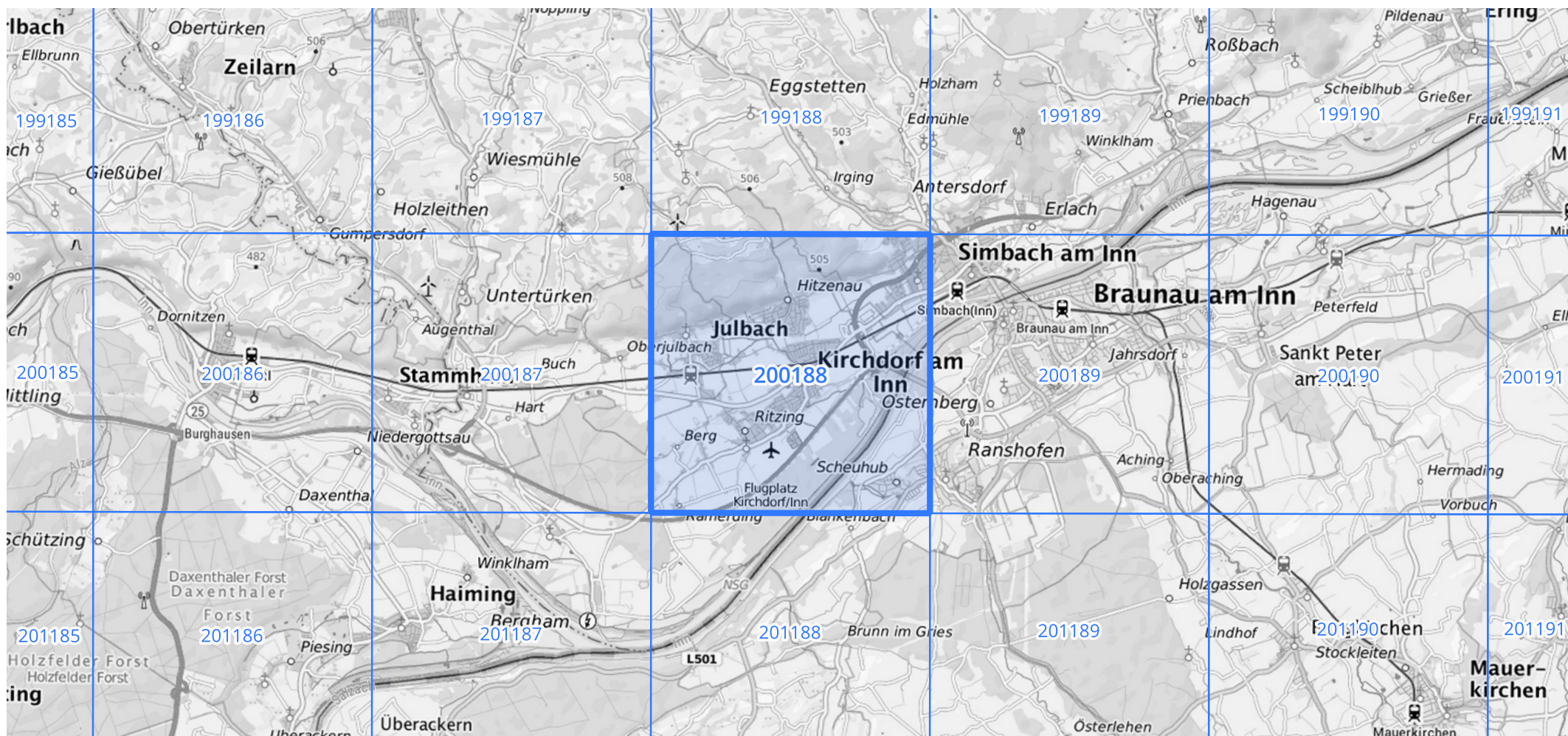
Siehe auch Anwendungshilfe zu KOSTRA-DWD-2020 des Deutschen Wetterdienstes.

# Starkniederschlagshöhen und -spenden gemäß KOSTRA-DWD-2020

## Rasterfeld 200188

(Zeile 200, Spalte 188)

Übersichtskarte des Rasterfeldes 200188, M 1 : 100 000



Quelle Rasterdaten: KOSTRA-DWD-2020 des Deutschen Wetterdienstes, Stand 12/2022.

Seite 3 von 3

Kartendarstellung: © Bundesamt für Kartographie und Geodäsie (2023), Datenquellen: [https://sgx.geodatenzentrum.de/web\\_public/gdz/datenquellen/Datenquellen\\_TopPlusOpen.html](https://sgx.geodatenzentrum.de/web_public/gdz/datenquellen/Datenquellen_TopPlusOpen.html)

Für die Richtigkeit und Aktualität der Angaben wird keine Gewähr übernommen. Erstellt 01/2023.